

**ВЛИЯНИЕ ОБМЕННОГО ВЗАЙМОДЕЙСТВИЯ  
НА ОСЦИЛЛАЦИИ ШУБНИКОВА—ДЕ-ГААЗА  
В ПОЛУМАГНИТНЫХ  
ТВЕРДЫХ РАСТВОРАХ  $Hg_{1-x-y}Cd_xMn_ySe$**

Беляев А. Е., Гавалешко Н. Н., Кривень С. И.,  
Мазур Ю. И., Шевченко Н. В.

Исследованы поперечное магнитосопротивление и эффект Холла в четырехкомпонентных полумагнитных твердых растворах  $Hg_{1-x-y}Cd_xMn_ySe$  ( $x=0.1$ ,  $y=0.02-0.04$ ). Обнаружено влияние обменного взаимодействия на величину и характер спинового расщепления уровней Ландау. Определена константа  $N_0 \alpha = 0.36$  эВ для  $s-d$ -обменного взаимодействия. Показано, что в узкозонных полупроводниках необходимо учитывать подмешивание  $p$ -функций к  $s$ -функциям электронов зоны проводимости.

Магнитосмешанные полупроводники (МСП) благодаря своим уникальным физическим свойствам вызывают повышенный интерес. Однако к настоящему времени достаточно хорошо изучены только тройные твердые растворы ( $HgMnTe$ ,  $HgMnSe$  и др.), тогда как четверные соединения (например,  $HgCdMnTe$ ,  $HgCdMnSe$ ) практически не исследованы [1, 2], хотя их возможности представляются более широкими. Это следует из того, что можно получать образцы с требуемой шириной запрещенной зоны и в то же время изменять магнитные свойства содержанием магнитной компоненты.

В данной работе представлены результаты измерений магнитополевых зависимостей удельного сопротивления  $\rho$  ( $H$ ) и коэффициента Холла  $R_X$  ( $H$ ) на образцах  $Hg_{1-x-y}Cd_xMn_ySe$  ( $x=0.1$ ,  $y=0.02-0.04$ )  $n$ -типа, на которых при гелиевых температурах в квантовой области магнитных полей отчетливо наблюдаются осцилляции Шубникова—де-Гааза (ШГ).

Образцы вырезались из монокристаллов твердых растворов  $Hg_{1-x-y}Cd_xMn_ySe$ , выращенных модифицированным методом Бриджмена. Концентрация свободных носителей заряда изменялась с помощью термоотжига в парах компонентов. Содержание компонент в твердом растворе определялось по данным рентгеновского микроанализа, из которых следует также, что при  $y \leq 0.05$  распределение Mn по площади пластин было однородным в пределах  $\pm 0.002$ .

№ образца	$x$	$y$	$E_g$ , мэВ	$m_n^* \cdot 10^{-3}$	$m_F^*/m_n^*$	$n_X \cdot 10^{-17}$ , см $^{-3}$	$n_{ШГ} \cdot 10^{-17}$ , см $^{-3}$	$\mu_e \cdot 10^{-4}$ , см $^2/V \cdot с$	$g_0$	$E_F$ , мэВ
1	0.1	0.02	59	6.6	2.42	1.74	1.9	8.7	-44	42
2	0.1	0.02	59	6.6	2.01	0.97	0.93	12	-55	30
3	0.1	0.04	124.8	14.5	1.57	3.38	3.22	0.9	-26	36
4	0.1	0.04	124.8	14.5	1.38	2.7	1.56	1.6	-31	24

Параметры исследованных образцов представлены в таблице. Значения  $E_g$ ,  $m_n^*$  рассчитывались по данным работы [1],  $n_X$  и  $n_{ШГ}$  — соответственно концентрации свободных носителей, определенные из эффекта Холла и по периоду осцилляций ШГ. При вычислениях  $E_F$ ,  $m_F^*$  использовались значения  $n_{ШГ}$ .

Магнитополевые зависимости  $\rho(H)$  и  $R_X(H)$  представлены на рис. 1 ( $y=0.02$ ) и 2 ( $y=0.04$ ), из которых видно, что изменение концентрации Mn существенно меняет картину осцилляций ШГ, что в свою очередь обусловлено обменным взаимодействием свободных носителей с  $3d^5$ -электронами ионов  $Mn^{2+}$ . В результате этого в магнитном поле  $H \parallel Oz$  спиновое расщепление электронов будет определяться эффективным  $g$ -фактором:

$$g_{\text{eff}} = g_0 + g_{\text{ch}} = g_0 - N_0 \alpha y \langle S_z \rangle / \mu_B H. \quad [(1)]$$

Вклад  $g_0$  в  $g_{\text{eff}}$  определяется зонными параметрами МСП, тогда как  $g_{\text{ch}}$  обусловлен носитель-ионным обменным взаимодействием,  $N_0$  — число катионов в единице объема.

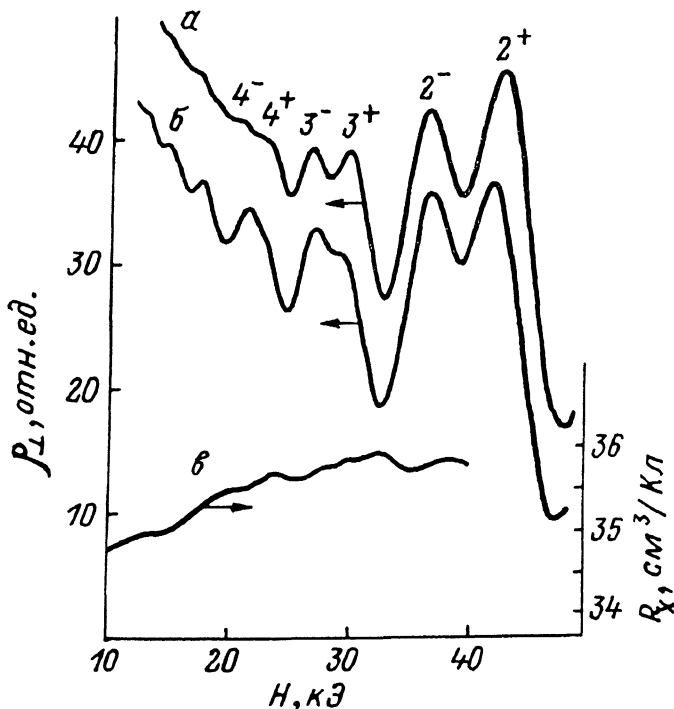


Рис. 1. Зависимость удельного сопротивления  $\rho$  (а, б) и коэффициента Холла  $R_X$  (в) от магнитного поля для образца 1.

$T, K: a - 1.6, b, v - 4.2.$

нице объема,  $\alpha$  —  $s-d$ -обменный интеграл (знак  $\alpha$  выбирается таким образом, чтобы  $\alpha > 0$  соответствовал ферромагнитному взаимодействию),  $\langle S_z \rangle$  — термодинамически среднее значение  $z$ -компоненты спина Mn,  $y$  — концентрация ионов Mn,  $\mu_B$  — магнетон Бора.

Концентрация свободных носителей заряда в исследуемых образцах была достаточно высокой, что не позволило нам наблюдать всю осцилляционную картину в экспериментально доступных магнитных полях, а лишь осцилляции с большими номерами уровней Ландау. Однако даже из этих зависимостей видно, что при  $y=0.02$  наблюдается уменьшенное обменным взаимодействием спиновое расщепление уровней Ландау, а при  $y=0.04$  — подавление спиновых расщеплений. Подобные изменения  $g_{\text{eff}}$  соответствуют общим представлениям о вкладе носитель-ионного обменного взаимодействия в спиновые расщепления уровней Ландау.

Мы попытались оценить значения обменных констант, приводящих к наблюдаемым эффектам. При наличии спинового расщепления (рис. 1, образец 1) величину  $g_{\text{eff}}$  можно определить, используя выражение [3]

$$H_N^{\pm} = \frac{\hbar c}{e} (\sqrt{2} \pi^2 n)^{2/3} \left[ \sum_{k=0, \mp 2\gamma}^N \left( \sqrt{k} + \sqrt{k \pm 2\gamma} + 0.535 \sqrt{\frac{k_0 T}{\hbar \omega_e}} \right) \right]^{-1/3}, \quad (2)$$

где  $N$  — номер уровня Ландау,  $n$  и  $m^*$  — концентрация и эффективная масса электронов,  $\omega_e = eH/m^*c$ ,  $\gamma = g_{\text{eff}} m^*/m_0$ , знаки « $+$ » и « $-$ » соответствуют различным проекциям спинов. При отсутствии расщепления (рис. 2, образец 3) использование (2) для определения  $g_{\text{eff}}$  может привести к заметным ошибкам, и для корректных вычислений следовало бы пользоваться методикой, предложенной в [4].

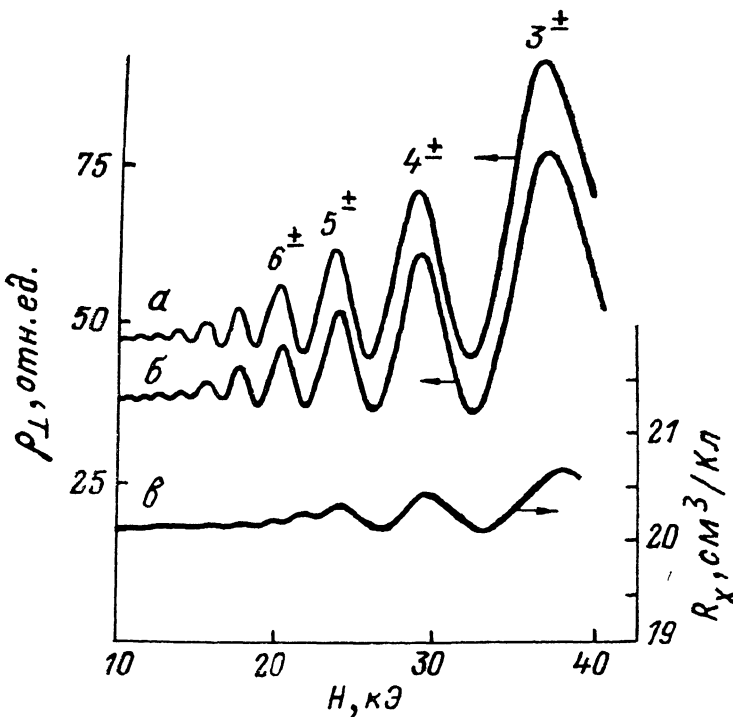


Рис. 2. Зависимость удельного сопротивления  $\rho$  ( $a, b$ ) и коэффициента Холла  $R_X$  ( $c$ ) от магнитного поля для образца 3.  
 $T, K: a - 1.6, b, c - 4.2$ .

Тем не менее, используя условие  $|g_{\text{eff}}| \mu_B H_N \leq k_0 T$ , можно оценить пределы изменения  $|g_{\text{eff}}|$ , при которых не наблюдается заметных изменений формы осцилляционных максимумов и их положения с понижением температуры от 4.2 до 1.6 К. В дальнейшем для образца 3 мы принимали  $g_{\text{eff}} \approx 0$ .

Для определения обменного вклада необходимо вычислить  $\langle S_z \rangle$ . Выражение для  $\langle S_z \rangle$  может быть записано в «высокотемпературном» разложении:

$$\langle S_z \rangle = -\frac{S_0(S+1)}{3} \left[ \frac{2\mu_B H}{k(T+T_0)} \right]. \quad (3)$$

Данная аппроксимация, как показал расчет для  $S=5/2$ , справедлива, если выражение в квадратных скобках не превышает 0.4.  $S_0$  и  $T_0$  являются эмпирическими параметрами, которые определяются из сопоставления (3) с экспериментальной зависимостью  $\chi^{-1}(T)$ . Измерения температурной зависимости магнитной восприимчивости  $\chi$  исследуемых образцов проведены методом Фарадея в магнитном поле  $H \approx 3$  кЭ (рис. 3). Обрабатывались экспериментальные результаты в предположении, что измеренная величина

$$\chi = \chi_{\text{latt}} + \chi_{\text{e}} + \chi_{\text{Mn}}, \quad (4)$$

где  $\chi_{latt}$  — диамагнитный вклад кристаллической решетки, создаваемый атомами компонентов (для Mn без вклада 3d-электронов), который выбирался равным  $\chi_{latt} = \chi_{HgCdSe} = -0.335 \cdot 10^{-6} \text{ см}^3/\text{г}$  [5],  $\chi_e$  — вклад свободных носителей заряда, который для концентрации  $\approx 10^{17} \text{ см}^{-3}$  не превышает  $|0.1\chi_{latt}|$  [6], вследствие чего в дальнейшем им пренебрегали,  $\chi_{Mn}$  — вклад электронов незаполненных внутренних d-оболочек ионов Mn:

$$\chi_{Mn} = \frac{y N_A \mu_{eff}}{3 M_0 k_0 (T + \Theta)} . \quad (5)$$

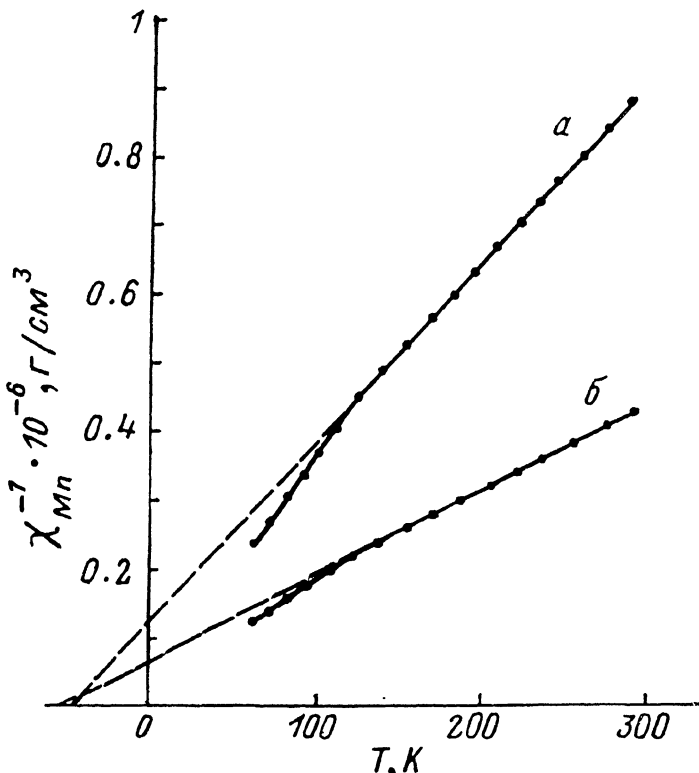


Рис. 3. Температурная зависимость величины обратной магнитной восприимчивости ионов Mn  $\chi_{Mn}^{-1}$  образцов 1 (a) и 3 (б).

В выражении (5)  $N_A$  — число Авогадро,  $\mu_{eff}$  — эффективный магнитный момент на атом Mn,  $M_0$  — молекулярный вес  $Hg_{1-x-y}Cd_xMn_ySe$ ,  $\Theta$  — температура Кюри. Как видно из рис. 3, характеристическая температура  $\Theta$  отрицательна ( $|\Theta| = 44 \text{ К}$  для  $y=0.02$  и  $|\Theta| = 52 \text{ К}$  для  $y=0.04$ ). Наличие отличной от нуля  $\Theta$  свидетельствует о появлении обменного взаимодействия между ионами марганца, а отрицательный знак  $\Theta$  указывает на антиферромагнитный характер этого взаимодействия. При низких температурах зависимость  $\chi^{-1}(T)$  отклоняется от линейной. Низкотемпературный участок также может быть описан выражением (5), однако со своими  $\Theta_H$  и  $y_H$ . В нашем случае  $\Theta_H \approx 0$ ,  $y_H < y$ . Такое поведение восприимчивости может быть объяснено в рамках модели, в которой предполагается образование «элементарных» магнитных кластеров, состоящих из нескольких близко расположенных ионов  $Mn^{2+}$  [7]. Обсуждение результатов по магнитной восприимчивости и оценка вкладов различных механизмов обменного взаимодействия представляют самостоятельный интерес и не входят в задачу данной работы, поэтому мы не будем на них детально останавливаться. Отметим лишь, что с помощью зависимости  $\chi_{Mn}^{-1} = f(T)$ , используя стандартные соотношения между концентрацией ионов Mn, намагниченностью  $M$  и  $\langle S_z \rangle$ , мы определили  $\langle S_z \rangle$  для исследуемых образцов и тем самым вычислили обменный вклад в  $g_{eff}$ .

Для образца 3 в предположении  $g_{eff} \approx 0$  использование  $N_0\alpha = 0.36$  эВ удовлетворительно описывает экспериментальные данные с учетом возможных ошибок в определении состава (и соответственно  $E_g$ ,  $g_0$ ) и  $g_{eff}$ . Следует отметить, что это значение достаточно хорошо согласуется с имеющимися в литературе данными для  $Hg_{1-x}Mn_xTe$  [4, 8] и  $Hg_{1-x}Mn_xSe$  [8, 9]. При этом для описания температурной зависимости  $g_{eff}$  в выражении (3) были использованы следующие параметры:  $S_0 = 1.4$ ,  $T_0 = 16$  К. Величина  $S_0$  согласуется как с имеющимися в литературе данными для такой концентрации Mn в различных матрицах, так и с аналитически рассчитанной по вероятности образования магнитных кластеров различной конфигурации в предположении хаотического распределения ионов  $Mn^{2+}$  в подрешетке. Что же касается  $T_0$ , то ее величина существенно выше, чем, например, для  $CdMnTe$  [10]. Однако следует иметь в виду, что в нашем случае и  $\Theta$  достаточно велика. Поскольку  $T_0$  характеризует прямое взаимодействие локализованных спинов, для обсуждения ее величины необходимо знать механизм этого взаимодействия, что требует дополнительного исследования.

Анализ результатов, полученных на образце 1, показывает, что для удовлетворительного согласия с экспериментом требуется уменьшить  $N_0\alpha$  в 1.5–2 раза. На наш взгляд, это может быть связано с подмешиванием  $p$ -подобных волновых функций к  $s$ -подобным волновым функциям электронов зоны проводимости. Обменный вклад в  $g_{eff}$  (1) должен учитываться в выражении

$$\frac{N_0(f_1; \alpha + f_2\beta)y\langle S_z \rangle}{\mu_B H}, \quad (6)$$

где  $\beta = p-d$ -обменный интеграл,  $f_1$ ,  $f_2$  — функции от коэффициентов  $a$ ,  $b$ ,  $c$ , появляющихся в обобщенной модели Кейна при учете в сферическом приближении вклада удаленных зон. Величина  $a$  определяет вклад базисных функций  $S$ -типа в волновую функцию зоны проводимости,  $b$  и  $c$  — вклады различных компонент  $p$ -подобных базисных функций. Значения  $a$ ,  $b$ ,  $c$  приведены в [11]. Такое подмешивание может оказаться для образца 1 существенным (до 20–25 %), если учесть малость  $E_g$  (59 мэВ)<sup>1</sup> и большую величину волнового вектора носителей тока  $k_F = (3\pi^2 n)^{1/3} \approx 2 \cdot 10^6$  см<sup>-1</sup>. В пользу этого предположения свидетельствует также температурная зависимость величины спинового расщепления. Как видно из рис. 1, с понижением температуры спиновое расщепление ( $\Delta E_N = E_N^+ - E_N^-$ ) несколько увеличивается (например,  $\Delta E_{2.6}^+ - \Delta E_{2.2}^- \approx 0.3$  мэВ). Для чистого  $s-d$ -обменного взаимодействия при указанном расположении спиновых подуровней Ландау спиновое расщепление с понижением температуры должно уменьшаться. На наш взгляд, лишь подмешивание  $p-d$ -обмена может привести к обсуждаемому экспериментальному факту.

В заключение следует отметить, что, так же как и соединения  $Hg_{1-x-y}Cd_xMn_yTe$  с положительной  $E_g$  [12], исследуемые четверные соединения  $Hg_{1-x-y}Cd_xMn_ySe$  не проявляют заметной зависимости положения осцилляционных пиков от температуры. В то же время в отличие от тройных соединений  $Hg_{1-x}Mn_xTe$ ,  $Hg_{1-x}Mn_xSe$  [8, 9, 13] в  $Hg_{1-x-y}Cd_xMn_ySe$  мы не наблюдали при понижении температуры немонотонного изменения амплитуд осцилляционных пиков.

Авторы выражают благодарность В. И. Шеке и Л. С. Хазану за обсуждение результатов настоящей работы и ценные замечания.

#### Список литературы

- [1] Гавалешко Н. Н., Кривень С. И., Мазур Ю. И., Параичч С. Ю., Сизов Ф. Ф. // ФТП. 1989. Т. 23. В. 6. С. 943–946.
- [2] Баженов Н. Л., Иванов-Омский В. И., Миронов К. Е., Мовилэ В. Ф. // ФТП. 1988. Т. 22. В. 7. С. 1258–1261.
- [3] Аскеров Б. М. Электронные явления переноса в полупроводниках. М., 1985. 317 с.
- [4] Беляев А. Е., Городничий О. П., Семенов Ю. Г., Шевченко Н. В., Бондарук О. А., Раренко И. М. // ФТП. 1988. Т. 22. В. 2. С. 335–338.
- [5] Spalek J., Lewicki A., Taranawski Z., Furdyna T. K., Galazka R. R., Obuszko Z. // Phys. Rev. B. 1986. V. 33. N 5. P. 3407.

<sup>1</sup> Изменение  $g_0$ , связанное с указанным фактом, незначительное, и мы пренебрегаем им.

- [6] Иванов-Омский В. И., Коломиец Б. Т., Мельник В. М., Огородников В. К. // ФТД. 1969. Т. 11. В. 9. С. 2563—2567.
- [7] Bastard G., Lewiner C. // J. Phys. C. 1980. V. 13. N 8. P. 1469.
- [8] Dobrovolska M., Dobrovolski W., Otto H., Dietl T., Galazka R. R. // J. Phys. Soc. Japan. 1980. V. 49 (Suppl. A). P. 815.
- [9] Byszewski P., Cieplak M. Z., Mongizd-Gorska A. // J. Phys. C. 1980. V. 13. P. 5383.
- [10] Gaj J. A., Planel R., Fishman G. // Sol. St. Commun. 1979. V. 29. N 5. P. 435.
- [11] Szymanska W., Dietl T. // J. Phys. Chem. Sol. 1978. V. 39. P. 1025.
- [12] Takeyama S., Narita S. // Sol. St. Commun. 1986. V. 60. N 3. P. 285.
- [13] Ляпилин И. И., Пономарев А. И., Харус Г. И., Гевалешко Н. П., Марьянчук П. Д. // ЖЭТФ. 1983. Т. 85. В. 5. С. 1638—1640.

Институт полупроводников АН УССР  
Киев

Получена 29.01.1990  
Принята к печати 7.07.1990